

Генерация нелинейных токов и низкочастотного излучения при взаимодействии лазерного импульса с металлом

С.Г.Бежанов, С.А.Урюпин

Найдены медленно изменяющиеся во времени нелинейные токи в скин-слое металла, возникающие под действием короткого импульса лазерного излучения. Изучено низкочастотное поле, порождаемое нелинейными токами в металле в вакууме. Описан спектральный состав, энергия и форма импульса низкочастотного излучения.

Ключевые слова: фемтосекундный импульс, нелинейный ток, скин-слой, терагерцевое излучение.

1. Введение

Изучение генерации нелинейных токов и возникающих при этом низкочастотных полей началось в первые годы становления нелинейной оптики. В связи с прогрессом на пути получения лазерных импульсов фемтосекундной длительности, этот раздел нелинейной оптики получил дальнейшее развитие благодаря возможности создавать достаточно сильные поля в скин-слое за время, меньшее времени существенного нагрева электронов и решетки, приводящего к разрушению поверхности металла. В последнее время интерес к данному направлению исследований возрос в связи с новыми возможностями в освоении терагерцевого диапазона частот. Генерация терагерцевого излучения на поверхностях серебра и золота наблюдалась в работах [1, 2], а на поверхности меди – в [3]. В работе [4] изучено терагерцевое излучение при облучении полупроводников, находящихся в магнитном поле. В [5] показано, что при взаимодействии фемтосекундного лазерного импульса с наноструктурированной поверхностью металла эффективность генерации терагерцевого излучения существенно возрастает. Появление новых экспериментальных работ указывает на необходимость создания теории, позволяющей адекватно описывать наблюдаемые закономерности генерации терагерцевого излучения. Соответствующий шаг в этом направлении сделан в настоящей работе применительно к описанию обнаруженных в [1, 2] особенностей взаимодействия фемтосекундного импульса s-поляризованного излучения с мишенью из золота.

Во втором разделе исследовано поле, создаваемое в металле коротким импульсом s-поляризованного излучения. Нелинейные токи в скин-слое и низкочастотное поле в металле рассмотрены в третьем разделе. Поле низкочастотного излучения в вакууме описано в четвертом разделе. Там же приведены выражения для фурье-образов магнитного поля в вакууме, явный вид которых зависит от соотношения между частотой столкновений электронов и частотами основного и генерируемого полей. Спектральный состав, энергия и форма импульса низкочастотного излучения рассмотрены в пятом разделе. Показано, что при воздействии на металл фемтосекундного импульса s-поляризованного излучения генерируется широкополосное излучение терагерцевого диапазона частот. Наиболее эффективная генерация происходит на частоте порядка обратной длительности основного фемтосекундного импульса. Длительность низкочастотного импульса сравнима с длительностью основного импульса, а полная энергия низкочастотного излучения пропорциональна квадрату интенсивности основного излучения. Предложен способ объяснения полученных в работах [1, 2] частотных и временных характеристик низкочастотного импульса. Установлено, что для этого необходимо учитывать столкновения электронов, приводящие к генерации нелинейного тока вдоль поверхности металла.

ношения между частотой столкновений электронов и частотами основного и генерируемого полей. Спектральный состав, энергия и форма импульса низкочастотного излучения рассмотрены в пятом разделе. Показано, что при воздействии на металл фемтосекундного импульса s-поляризованного излучения генерируется широкополосное излучение терагерцевого диапазона частот. Наиболее эффективная генерация происходит на частоте порядка обратной длительности основного фемтосекундного импульса. Длительность низкочастотного импульса сравнима с длительностью основного импульса, а полная энергия низкочастотного излучения пропорциональна квадрату интенсивности основного излучения. Предложен способ объяснения полученных в работах [1, 2] частотных и временных характеристик низкочастотного импульса. Установлено, что для этого необходимо учитывать столкновения электронов, приводящие к генерации нелинейного тока вдоль поверхности металла.

2. Высокочастотное поле

Рассмотрим взаимодействие импульса s-поляризованного электромагнитного излучения с металлом, занимающим полупространство $z > 0$. Электрическое и магнитное поля падающего на поверхность металла импульса представим в виде

$$E_{\text{inc}}(\mathbf{r}, t) = \frac{1}{2} E_{\text{inc}}(t - \mathbf{kr}/\omega) \exp(-i\omega t + i\mathbf{kr}) + \text{компл. сопр.},$$

$$B_{\text{inc}}(\mathbf{r}, t) = \frac{1}{2} B_{\text{inc}}(t - \mathbf{kr}/\omega) \exp(-i\omega t + i\mathbf{kr}) + \text{компл. сопр.},$$

где $E_{\text{inc}}(t - \mathbf{kr}/\omega) = E_{\text{inc}}(t - \mathbf{kr}/\omega)(0, 1, 0)$; $B_{\text{inc}}(t - \mathbf{kr}/\omega) = E_{\text{inc}}(t - \mathbf{kr}/\omega)(-\cos\theta, 0, \sin\theta)$; ω – несущая частота; θ – угол между направлением распространения импульса и вектором внешней нормали к поверхности металла; $\mathbf{k} = (\omega/c) \times (\sin\theta, 0, \cos\theta)$ – волновой вектор; c – скорость света. Примем также, что функция $E_{\text{inc}}(t - \mathbf{kr}/\omega)$ слабо изменяется за время $\sim 1/\omega$.

При описании отклика металла на воздействие поля вида (1) в условиях, когда частота ω или частота столкновений электронов больше отношения скорости Ферми v_F

С.Г.Бежанов, С.А.Урюпин. Физический институт им. П.Н.Лебедева РАН, Россия, 119991 Москва, Ленинский просп., 53; Национальный исследовательский ядерный университет «МИФИ», Россия, 115409 Москва, Каширское ш., 31; e-mail: uryupin@sci.lebedev.ru

Поступила в редакцию 2 июля 2013 г., после доработки – 1 августа 2013 г.

к глубине скин-слоя, воспользуемся уравнением для скорости $\mathbf{u} = \mathbf{u}(\mathbf{r}, t)$ направленного движения электронов

$$\frac{\partial \mathbf{u}}{\partial t} + (\mathbf{u} \nabla) \mathbf{u} = \frac{\mathbf{f}}{m} + \frac{e}{m} \left(\mathbf{E} + \frac{1}{c} [\mathbf{u} \mathbf{B}] \right) - \frac{1}{mn} \nabla p, \quad (2)$$

где $\mathbf{f} = \mathbf{f}(\mathbf{r}, t)$ – сила трения; e и m – заряд и эффективная масса электрона; $\mathbf{E} = \mathbf{E}(\mathbf{r}, t)$ и $\mathbf{B} = \mathbf{B}(\mathbf{r}, t)$ – электрическое и магнитное поля в металле; p и n – давление и концентрация электронов. Поля в металле описываются уравнениями Максвелла

$$\text{rot} \mathbf{E} = -\frac{1}{c} \frac{\partial \mathbf{B}}{\partial t}, \quad \text{rot} \mathbf{B} = \frac{1}{c} \frac{\partial \mathbf{D}}{\partial t} + \frac{4\pi}{c} \mathbf{j}, \quad (3)$$

где $\mathbf{D} = \mathbf{D}(\mathbf{r}, t)$ – электромагнитная индукция. Плотность тока $\mathbf{j} = \mathbf{j}(\mathbf{r}, t) = en\mathbf{u}(\mathbf{r}, t)$, скорость \mathbf{u} , силу трения \mathbf{f} и поля в металле представим в виде

$$\mathbf{F} = \mathbf{F}(\mathbf{r}, t) = \mathbf{F}_0(\mathbf{r}, t) + \frac{1}{2} [\mathbf{F}_1(\mathbf{r}, t) \exp(-i\omega t) + \text{компл. сопр.}], \quad (4)$$

где $\mathbf{F} = \mathbf{E}, \mathbf{B}, \mathbf{D}, \mathbf{f}, \mathbf{u}, \mathbf{j}$; функции $F_n = F_n(\mathbf{r}, t)$ слабо изменяются за время $\sim 1/\omega$,

$$\omega \gg \left| \frac{\partial}{\partial t} \ln F_n \right|. \quad (5)$$

В формуле (4) опущены гармоники $\exp(-in\omega t)$ с номерами $n \geq 2$, что оправданно в достаточно слабом поле.

Принимая во внимание слабость поля и неравенство (5), из (2) для $\mathbf{j}_1(\mathbf{r}, t)$ приближенно находим выражение

$$\mathbf{j}_1(\mathbf{r}, t) = \frac{i\omega_p^2}{4\pi(\omega + iv)} \mathbf{E}_1(\mathbf{r}, t), \quad (6)$$

где $\omega_p = \sqrt{4\pi ne^2/m}$ – плазменная частота; v – частота столкновений электронов в условиях их взаимодействия с высокочастотным электромагнитным полем. При получении соотношения (6) использовано простейшее выражение для силы трения: $\mathbf{f}_1(\mathbf{r}, t) = -m\nu \mathbf{u}_1(\mathbf{r}, t)$.

В (3) отличие $\mathbf{D}(\mathbf{r}, t)$ от $\mathbf{E}(\mathbf{r}, t)$ обусловлено влиянием решетки и связанных электронов. Такое отличие описывается зависящей от частоты ω диэлектрической проницаемостью $\varepsilon_0(\omega)$. В частности, на близких к ω частотах, имеем

$$\begin{aligned} \mathbf{D}_1(\mathbf{r}, t) \exp(-i\omega t) &= \int_{-\infty}^t \varepsilon_0(t-t') \mathbf{E}_1(\mathbf{r}, t') \exp(-i\omega t') dt' \\ &\simeq \varepsilon_0(\omega) \mathbf{E}_1(\mathbf{r}, t) \exp(-i\omega t), \end{aligned} \quad (7)$$

где

$$\varepsilon_0(\omega) = \int_0^\infty \varepsilon_0(t) \exp(i\omega t) dt$$

и пренебрежено слабым изменением $\mathbf{E}_1(\mathbf{r}, t)$ за время $\sim 1/\omega$.

С учетом выражений (4)–(7) в условиях воздействия s-поляризованного излучения для определяющей поле в металле функции $\mathbf{E}_1(\mathbf{r}, t)$ из уравнений (3) находим соотношение

$$\Delta \mathbf{E}_1(\mathbf{r}, t) + \frac{\omega^2}{c^2} \varepsilon_0(\omega) \mathbf{E}_1(\mathbf{r}, t) = 0, \quad (8)$$

где $\varepsilon(\omega) = \varepsilon_0(\omega) - \omega_p^2/[\omega(\omega + iv)]$. Приближенное решение уравнения (8) ищем в виде $\mathbf{E}_1(\mathbf{r}, t) = (0, E_1(\mathbf{r}, t), 0)$, где

$$E_1(\mathbf{r}, t) \simeq E_1(z, x, t) \exp(ikx \sin \theta). \quad (9)$$

Тогда, пренебрегая слабым изменением $E_1(z, x, t)$ вдоль поверхности металла, из (8) приближенно получаем уравнение

$$\frac{\partial^2}{\partial z^2} E_1(z, x, t) - \kappa^2 E_1(z, x, t) = 0, \quad (10)$$

где использовано обозначение

$$\kappa^2 = \frac{\omega^2}{c^2} [\sin^2 \theta - \varepsilon(\omega)] = \text{Re} \kappa^2 - i \text{Im} \kappa^2. \quad (11)$$

Считая $\text{Re} \kappa^2 > 0$ и $\text{Im} \kappa^2 > 0$, убывающее в глубь металла решение уравнения (10) запишем в виде

$$E_1(z, x, t) = E_1(0, x, t) \exp(-\kappa z), \quad \kappa = \kappa_1 - i\kappa_2, \quad (12)$$

$$\kappa_p = \frac{1}{\sqrt{2}} [\sqrt{(\text{Re} \kappa^2)^2 + (\text{Im} \kappa^2)^2} - (-1)^p \text{Re} \kappa^2]^{1/2}, \quad p = 1, 2.$$

В свою очередь, из (3), (4), (9) и (12) для определяющей магнитное поле в металле функции $\mathbf{B}_1(\mathbf{r}, t)$ имеем соотношение

$$\mathbf{B}_1(\mathbf{r}, t) = E_1(0, x, t) \exp(-\kappa z + ikx \sin \theta) \left(-i \frac{\kappa}{k}, 0, \sin \theta \right). \quad (13)$$

Электромагнитное излучение частично отражается от металла. Принимая во внимание неравенство (5), в линейном по E_{inc} приближении поля отраженного импульса s-поляризованного излучения представим в виде

$$\mathbf{E}_{\text{ref}}(\mathbf{r}, t) = \frac{1}{2} \mathbf{E}_{\text{ref}}(t - \mathbf{k}'r/\omega) \exp(-i\omega t + i\mathbf{k}'r) + \text{компл. сопр.}, \quad (14)$$

$$\mathbf{B}_{\text{ref}}(\mathbf{r}, t) = \frac{1}{2} \mathbf{B}_{\text{ref}}(t - \mathbf{k}'r/\omega) \exp(-i\omega t + i\mathbf{k}'r) + \text{компл. сопр.},$$

где $\mathbf{E}_{\text{ref}}(t - \mathbf{k}'r/\omega) = R \mathbf{E}_{\text{inc}}(t - \mathbf{k}'r/\omega)$; R – комплексный коэффициент отражения; $\mathbf{k}' = k(\sin \theta, 0, -\cos \theta)$; $\mathbf{B}_{\text{ref}}(t - \mathbf{k}'r/\omega) = R \mathbf{E}_{\text{inc}}(t - \mathbf{k}'r/\omega)(\cos \theta, 0, \sin \theta)$.

Используя условия непрерывности тангенциальных компонент электрического и магнитного полей, из соотношений (1), (4), (9), (12), (13) и (14) находим комплексные коэффициенты проникновения (F_s) и отражения (R) s-поляризованного излучения:

$$F_s \simeq \frac{2k \cos \theta}{k \cos \theta + i\kappa}, \quad R \simeq \frac{k \cos \theta - i\kappa}{k \cos \theta + i\kappa}, \quad (15)$$

и функцию $E_1(0, x, t)$:

$$E_1(0, x, t) = F_s E_{\text{inc}} \left(t - \frac{x \sin \theta}{c} \right). \quad (16)$$

Формулы (4), (9), (11)–(13) и (16) определяют высокочастотное поле в металле.

3. Нелинейный ток и низкочастотное поле в металле

Рассмотрим электромагнитное поле и плотность тока на частотах Ω , много меньших ω . При малых частотах сила трения f_0 зависит от частоты столкновений электронов v_s , которая отличается от v : $f_0 = -mv_s u_0$. Имея в виду такое отличие, в случае воздействия импульса s-поляризованного излучения из (2), (4) находим

$$\frac{\partial j_0(r, t)}{\partial t} + v_s j_0(r, t) = \frac{\omega_p^2}{4\pi} E_0(r, t) + \frac{e}{4mc} \{ [j_1(r, t) B_1^*(r, t)] + [j_1^*(r, t) B_1(r, t)] \}. \quad (17)$$

В (17) опущен вклад от изменения давления. Такое приближение оправданно, если для рассматриваемых далее частот Ω реализуются условия высокочастотного или нормального скин-эффекта. Далее, используя выражения для j_1 (6), E_1 (9), (12), (16) и B_1 (13), после преобразования Фурье по времени ($t \rightarrow \Omega$) и координате x ($x \rightarrow q$), из (17) имеем

$$-i(\Omega + iv_s) j_0(q, z, \Omega) = \frac{\omega_p^2}{4\pi} E_0(q, z, \Omega) + v J(q, \Omega) \exp(-2\kappa_1 z). \quad (18)$$

Здесь использованы обозначения $J(q, \Omega) = (J_x(q, \Omega), 0, J_z(q, \Omega))$,

$$J_x(q, \Omega) = \frac{e\omega_p^2 \sin\theta}{mc^2 \omega^2 + v^2} |F_s|^2 I(\Omega) 2\pi \delta(q - \frac{\Omega \sin\theta}{c}), \quad (19)$$

$$J_z(q, \Omega) = \frac{e\omega_p^2 \omega \kappa_1 + v \kappa_2}{mcv\omega \omega^2 + v^2} |F_s|^2 I(\Omega) 2\pi \delta(q - \frac{\Omega \sin\theta}{c}), \quad (20)$$

где $\delta(x)$ – дельта-функция, а $I(\Omega)$ – фурье-образ плотности потока энергии:

$$I(\Omega) = \frac{c}{8\pi} \int_{-\infty}^{\infty} d\tau E_{inc}^2(\tau) \exp(i\Omega\tau). \quad (21)$$

Согласно (18), если опустить слагаемое с $E_0(q, z, \Omega)$, то функция $J(q, \Omega)$ определяет фурье-образ плотности тока увлечения [6]. Принимая во внимание соотношения (4), из уравнений Максвелла (3) для фурье-образа медленно меняющегося магнитного поля $B_0(q, z, \Omega) = (0, B_0(q, z, \Omega), 0)$ получаем уравнение

$$\frac{d^2}{dz^2} B_0(q, z, \Omega) - \kappa_s^2 B_0(q, z, \Omega) = Q(q, \Omega) \exp(-2\kappa_1 z), \quad (22)$$

где

$$Q(q, \Omega) = \frac{4i\pi v}{c(\Omega + iv_s)} [2\kappa_1 J_x(q, \Omega) + iq J_z(q, \Omega)], \quad (23)$$

$$\kappa_s^2 = q^2 - \frac{\Omega^2}{c^2} \varepsilon(\Omega) \equiv \text{Re} \kappa_s^2 - i \text{Im} \kappa_s^2, \quad (24)$$

$$\varepsilon(\Omega) = \varepsilon_0(\Omega) - \frac{\omega_p^2}{\Omega(\Omega + iv_s)} = \varepsilon'(\Omega) + i\varepsilon''(\Omega). \quad (25)$$

Обычно $\text{Re} \kappa_s^2 > 0$. Убывающее при удалении от поверхности металла решение уравнения (22) имеет вид

$$B_0(q, z, \Omega) = B(q, 0, \Omega) \exp(-\kappa_s z) + \frac{Q(q, \Omega)}{4\kappa_1^2 - \kappa_s^2} [\exp(-2\kappa_1 z) - \exp(-\kappa_s z)], \quad (26)$$

$$\kappa_s = \kappa_{s1} - i\kappa_{s2} \text{sign}(\text{Im} \kappa_s^2),$$

$$\kappa_{sp} = \frac{1}{\sqrt{2}} [\sqrt{(\text{Re} \kappa_s^2)^2 + (\text{Im} \kappa_s^2)^2} - (-1)^p \text{Re} \kappa_s^2]^{1/2}, p = 1, 2, \quad (27)$$

где $B(q, 0, \Omega)$ – значение функции $B_0(q, z, \Omega)$ при $z = 0$. Используя соотношение (26) и второе из уравнений (3), находим фурье-образы компонент электрического поля:

$$E_{0x}(q, z, \Omega) = \frac{ic}{\varepsilon(\Omega)\Omega} \left\{ B(q, 0, \Omega) \kappa_s \exp(-\kappa_s z) + \frac{Q(q, \Omega)}{4\kappa_1^2 - \kappa_s^2} [2\kappa_1 \exp(-2\kappa_1 z) - \kappa_s \exp(-\kappa_s z)] - \frac{4\pi}{c} \frac{iv}{\Omega + iv_s} J_x(q, \Omega) \exp(-2\kappa_1 z) \right\}, \quad (28)$$

$$E_{0z}(q, z, \Omega) = -\frac{c}{\varepsilon(\Omega)\Omega} \left\{ B(q, 0, \Omega) q \exp(-\kappa_s z) + \frac{Q(q, \Omega)}{4\kappa_1^2 - \kappa_s^2} q [\exp(-2\kappa_1 z) - \exp(-\kappa_s z)] - \frac{4\pi}{c} \frac{v}{\Omega + iv_s} J_z(q, \Omega) \exp(-2\kappa_1 z) \right\}. \quad (29)$$

Функции $B_0(q, z, \Omega)$ (26), $E_{0x}(q, z, \Omega)$ (28) и $E_{0z}(q, z, \Omega)$ (29) позволяют описать поле в металле на частотах, много меньших ω .

4. Поле низкочастотного излучения

В вакууме для фурье-образа магнитного поля $B_r(q, z, \Omega) = (0, B_r(q, z, \Omega), 0)$ из системы уравнений (3) получаем уравнение

$$\frac{d^2}{dz^2} B_r(q, z, \Omega) + \left(\frac{\Omega^2}{c^2} - q^2 \right) B_r(q, z, \Omega) = 0. \quad (30)$$

Отвечающее волне, уходящей от поверхности металла, решение этого уравнения имеет вид

$$B_r(q, z, \Omega) = B_r(q, 0, \Omega) \exp\left(-iz \sqrt{\frac{\Omega^2}{c^2} - q^2}\right). \quad (31)$$

При этом для компонент $E_{rx}(q, z, \Omega)$ и $E_{rz}(q, z, \Omega)$ получаем соотношения

$$E_{rx}(q, z, \Omega) = -\sqrt{1 - \frac{q^2 c^2}{\Omega^2}} B_r(q, z, \Omega), \quad (32)$$

$$E_{rz}(q, z, \Omega) = -\frac{qc}{\Omega} B_r(q, z, \Omega). \quad (33)$$

Из сравнения формул (29) и (33) видно, что $\varepsilon(\Omega)E_{0z}(q, 0, \Omega) \neq E_{rz}(q, 0, \Omega)$ при $z = 0$. Отсутствие непрерывности нормальной компоненты фурье-образа электрической индукции является следствием приближенного описания нелинейного тока. Однако в условиях, когда $\max(\Omega, v_s) \gg |\kappa_s|v_F$, при рассмотрении генерации низкочастотного излучения в точном описании z -компоненты электрического поля нет необходимости. Достаточно удовлетворить условиям непрерывности тангенциальных компонент электрического и магнитного полей, которые приводят к соотношениям

$$B_r(q, 0, \Omega) = B(q, 0, \Omega), \quad (34)$$

$$i\varepsilon(\Omega)\sqrt{\frac{\Omega^2}{c^2} - q^2} B_r(q, 0, \Omega) = \kappa_s B(q, 0, \Omega) + \frac{Q(q, \Omega)}{2\kappa_1 + \kappa_s} - \frac{4\pi}{c} \frac{iv}{\Omega + iv_s} J_x(q, \Omega). \quad (35)$$

Используя формулу (23), из уравнений (34), (35) находим фурье-образ магнитного поля на поверхности металла

$$B_r(q, 0, \Omega) = \frac{4\pi}{c} \frac{v}{(\Omega + iv_s)(2\kappa_1 + \kappa_s)} \frac{iqJ_z(q, \Omega) - \kappa_s J_x(q, \Omega)}{[\varepsilon(\Omega)\sqrt{\Omega^2/c^2 - q^2} + i\kappa_s]}. \quad (36)$$

Принимая во внимание соотношения (19), (20) и (31), после обратного преобразования Фурье по q из (36) находим

$$B_r(r, \Omega) = \frac{-16\pi e \omega_p^2 k^2 \sin \theta \cos^2 \theta [\kappa_s v - i\Omega(\kappa_1 + \kappa_2 v/\omega)]}{mc^2(\Omega + iv_s)(2\kappa_1 + \kappa_s)(\omega^2 + v^2)[\varepsilon(\Omega)\Omega \cos \theta + i\kappa_s] |k \cos \theta + i\kappa|^2} \times I(\Omega) \exp\left[i\frac{\Omega}{c}(x \sin \theta - z \cos \theta)\right]. \quad (37)$$

Согласно (37) излучение металла на низких частотах происходит под углом θ , т. е. в направлении отражения основного высокочастотного сигнала. Формулы (36), (37) учитывают столкновения электронов. Такое уточнение привело к появлению излучающего на низких частотах нелинейного тока вдоль поверхности металла. Отметим, что в [2] учтена только нелинейная восприимчивость, отвечающая току вдоль нормали к поверхности металла. Ниже будет показано, что в представляющих интерес условиях, в том числе и реализованных в работе [2], оба тока сравнимы по величине и важны для описания низкочастотного отклика металла.

Выражение (37) допускает существенное упрощение. Часто несущая частота основного импульса удовлетворяет неравенствам $\omega_p \gg \omega \gg v$ и $\omega_p^2 \gg \omega^2 |\varepsilon_0(\omega)|$. Кроме того, $\omega \gg \omega_p v_F/c$. В таких условиях $\kappa \simeq \kappa_1 \simeq \omega_p/c$. На частоте Ω сравнительно просто реализуется неравенство $\omega_p^2 \gg |\varepsilon_0(\Omega) \times (\Omega + iv_s)\Omega|$. При этом $\kappa_s \simeq (\omega_p/c)\sqrt{\Omega/(\Omega + iv_s)}$. С учетом приведенных неравенств при $\Omega \gg v_s$ из (37) имеем

$$B_r(r, \Omega) \simeq \frac{16\pi}{3} \frac{e}{mc^2 \omega_p^2} \frac{v - i\Omega}{(\cos \theta - i\Omega/\omega_p)} \sin \theta \cos^2 \theta \times I(\Omega) \exp\left[i\frac{\Omega}{c}(x \sin \theta - z \cos \theta)\right], \quad \omega \gg v. \quad (38)$$

В области более низких частот, когда $v_s \gg \Omega$, выражение (37) принимает вид

$$B_r(r, \Omega) = 8\pi \frac{e}{mc^2 \omega_p^2} \frac{[v(1-i)\sqrt{\Omega/(2v_s)} - i\Omega]}{[\cos \theta + (1-i)\sqrt{\Omega v_s/(2\omega_p^2)}]} \sin \theta \cos^2 \theta \times I(\Omega) \exp\left[i\frac{\Omega}{c}(x \sin \theta - z \cos \theta)\right], \quad \omega \gg v. \quad (39)$$

В обсуждаемых условиях $\omega_p \gg \Omega$, $\sqrt{\Omega v_s}$ и функция $B_r(r, \Omega)$ (38), (39) имеет максимум при $\theta \simeq \pi/4$. Если $\Omega \gg v_s$, v , то согласно (38) генерация низкочастотного поля определяется в основном нелинейным током, пропорциональным J_z . Напротив, если $\Omega \ll v_s$ и $v \gg \sqrt{\Omega v_s}$, то согласно (39) основной вклад в генерируемое поле обусловлен током вдоль оси x . При этом в широком интервале углов θ , не близких к $\pi/2$, выражение (39) содержит большой множитель, пропорциональный $v/\sqrt{\Omega v_s}$, что позволяет говорить о более эффективной генерации низкочастотного излучения в пределе относительно больших частот столкновений электронов. Такой же вывод следует из формулы (38), если $v > \Omega$.

Соотношения (38), (39) отвечают часто встречающимся условиям, в которых $\omega \gg v$. Если же частота столкновений настолько велика, что реализуется неравенство $v \gg \omega$, то, вообще говоря, возможны еще два предельных случая. Тогда, если $v \gg \omega \gg \Omega \gg v_s$, из (37) имеем

$$B_r(r, \Omega) \simeq 16\pi \frac{e\omega}{mc^2 \omega_p^2} \frac{\sin \theta \cos^2 \theta}{\cos \theta - i\Omega/\omega_p} \times I(\Omega) \exp\left[i\frac{\Omega}{c}(x \sin \theta - z \cos \theta)\right]. \quad (40)$$

Неравенство $v_s \ll v$, например, может реализоваться благодаря значительному увеличению частоты электрон-электронных столкновений в высокочастотном поле [7].

В другом предельном случае $v \gg \omega$ и $v_s \gg \Omega$. При этом из (37) получаем

$$B_r(r, \Omega) \simeq 8\pi(1-i) \frac{e\sqrt{\Omega\omega}}{mc^2 \omega_p^2} \sqrt{\frac{v}{v_s}} \frac{\sin \theta \cos^2 \theta}{\cos \theta + (1-i)\sqrt{\Omega v_s/(2\omega_p^2)}} \times I(\Omega) \exp\left[i\frac{\Omega}{c}(x \sin \theta - z \cos \theta)\right]. \quad (41)$$

При записи (41) учтено неравенство $\Omega v \ll \omega v_s$. При θ , не близких к $\pi/2$, в отличие от (40), выражение (41) содержит параметр $\sqrt{\Omega v/(\omega v_s)}$, который обычно мал. Видно, что при таких θ функция $B_r(r, \Omega)$ пропорциональна $\sqrt{v/v_s}$. Следовательно, при близких v и v_s выражение (41) слабо зависит от частоты столкновений электронов.

5. Спектральный состав, энергия и поле низкочастотного излучения

Энергия низкочастотного излучения, высвечиваемого с единицы площади поверхности металла, дается интегралом по времени от модуля вектора Пойнтинга:

$$W = \int_{-\infty}^{\infty} dt \frac{c}{4\pi} |E_r(r, t) B_r(r, t)| \equiv \int_0^{\infty} W(\Omega) d\Omega, \quad (42)$$

где

$$W(\Omega) = \frac{c}{4\pi^2} |\mathbf{B}_i(\mathbf{r}, \Omega)|^2 \quad (43)$$

– спектральная плотность энергии. Используя соотношения (12), (25), (27), (37) и определение (43), для $W(\Omega)$ получаем выражение

$$W(\Omega) = \frac{64e^2k^4\omega_p^4I^2(\Omega)}{m^2c^3(\Omega^2 + v_s^2)(\omega^2 + v^2)^2} \times \frac{\{\kappa_{s1}^2v^2 + [\kappa_{s2}v + \Omega(\kappa_1 + \kappa_2v/\omega)]^2\}}{(2\kappa_1 + \kappa_{s1})^2 + \kappa_{s2}^2} \{[\varepsilon'(\Omega)\Omega\cos\theta + c\kappa_{s2}]^2 + [\varepsilon''(\Omega)\Omega\cos\theta + c\kappa_{s1}]^2\}^{-1} \frac{\sin^2\theta\cos^4\theta}{[\kappa_1^2 + (\kappa_2 + k\cos\theta)^2]^2}. \quad (44)$$

В рассмотренных выше предельных случаях и для углов θ , не близких к $\pi/2$, выражение (44) допускает существенное упрощение. Используя выражения (38)–(41), из (43) находим

$$W(\Omega) = \frac{64}{9c} \left(\frac{e}{mc\omega_p^2}\right)^2 (v^2 + \Omega^2) I^2(\Omega) \sin^2\theta \cos^2\theta, \quad \Omega \gg v_s, \omega \gg v, \quad (45)$$

$$W(\Omega) = \frac{16}{c} \left(\frac{e}{mc\omega_p^2}\right)^2 \left[\left(\Omega + v\sqrt{\frac{\Omega}{2v_s}}\right)^2 + \frac{v^2\Omega}{2v_s} \right] I^2(\Omega) \sin^2\theta \cos^2\theta, \quad \Omega \ll v_s, \omega \gg v, \quad (46)$$

$$W(\Omega) = \frac{64}{c} \left(\frac{e\omega}{mc\omega_p^2}\right)^2 I^2(\Omega) \sin^2\theta \cos^2\theta, \quad v \gg \omega \gg \Omega \gg v_s, \quad (47)$$

$$W(\Omega) = \frac{32}{c} \left(\frac{e}{mc\omega_p^2}\right)^2 \Omega \omega \frac{v}{v_s} I^2(\Omega) \sin^2\theta \cos^2\theta, \quad v \gg \omega, v_s \gg \Omega. \quad (48)$$

Соотношения (44)–(48) позволяют анализировать спектральный состав низкочастотного излучения, если задана форма воздействующего на металл импульса высокочастотного излучения. Например, это возможно в случае воздействия гауссова импульса, $E_{inc}^2(\tau) = E_L^2 \exp(-\tau^2/\tau_p^2)$, где время τ_p определяет длительность импульса $t_p = 2\tau_p \sqrt{\ln 2}$. Отвечающий такому импульсу фурье-образ плотности потока энергии (21) имеет вид

$$I(\Omega) = \sqrt{\pi} \tau_p I_L \exp(-\Omega^2 \tau_p^2/4), \quad (49)$$

где $I_L = cE_L^2/(8\pi)$ – максимальная плотность потока энергии.

Приведем численные оценки для мишени из золота. Будем считать, что фемтосекундный импульс создается излучением титан-сапфирового лазера с несущей частотой $\omega \simeq 2.3 \times 10^{15} \text{ c}^{-1}$. Максимальное значение плотности потока энергии I_L выберем равным 10^{12} Вт/см^2 , что при длительности импульса $t_p \sim 20 \text{ фс}$ обеспечивает отсутствие существенного нагрева электронов и, следовательно, постоянство частот столкновений. Время $\tau_p = t_p/(2\sqrt{\ln 2})$ удовлетворяет соотношению $\omega\tau_p \gg 1$, что позволяет считать

изменение амплитуды поля за время $\sim 1/\omega$ медленным. Угол падения излучения на металл $\theta = \pi/4$. Плазменная частота для золота $\omega_p = 1.37 \times 10^{16} \text{ c}^{-1}$. При температуре $T = 300 \text{ К}$ используем частоты столкновений электронов $\nu = 1.2 \times 10^{14} \text{ c}^{-1}$ [8] и $\nu_s = 3.7 \times 10^{13} \text{ c}^{-1}$ [9]. В соответствии с данными работы [8] отвечающее частоте $\omega \simeq 2.3 \times 10^{15} \text{ c}^{-1}$ значение $\varepsilon_0(\omega)$ составляет ~ 8 .

На рис.1 приведены зависимости спектральной плотности энергии излучения $W(\Omega)$ (44) для различных длительностей импульса t_p . Функция $W(\Omega)$ нормирована на ее максимальное значение W_{max} , достигаемое при $t_p = 15 \text{ фс}$. Эффективность генерации на низких частотах мала. С увеличением Ω функция $W(\Omega)$ растет, достигает максимума при $\Omega \sim 1/\tau_p$, а затем монотонно убывает. При этом чем короче импульс, тем больше эффективность генерации. На рис.2 аналогичные зависимости построены и в случае облучения мишени из алюминия при $\nu = 9.3 \times 10^{13} \text{ c}^{-1}$ [10], $\nu_s = 1.62 \times 10^{14} \text{ c}^{-1}$ [9], $\omega_p = 1.9 \times 10^{16} \text{ c}^{-1}$ [10] и $\varepsilon_0(\omega) \simeq 4 + 42i$ [11]. Несмотря на сходство кривых на рис.1 и 2 видно, что для алюминия функция $W(\Omega)/W_{max}$ с ростом длительности импульса убывает заметно сильнее.

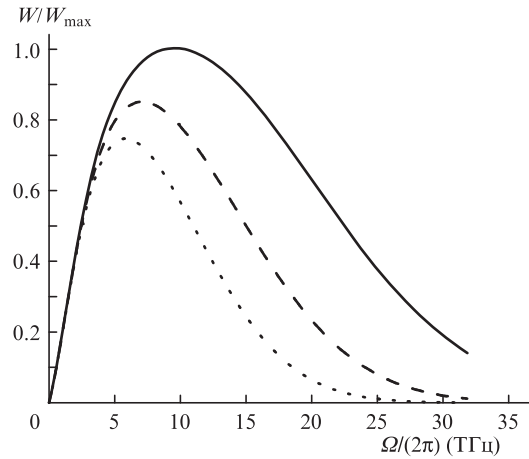


Рис.1. Спектральные плотности энергии низкочастотного излучения при облучении мишени из золота импульсом длительностью 15 (сплошная кривая), 20 (штриховая кривая) и 25 фс (пунктирная кривая).

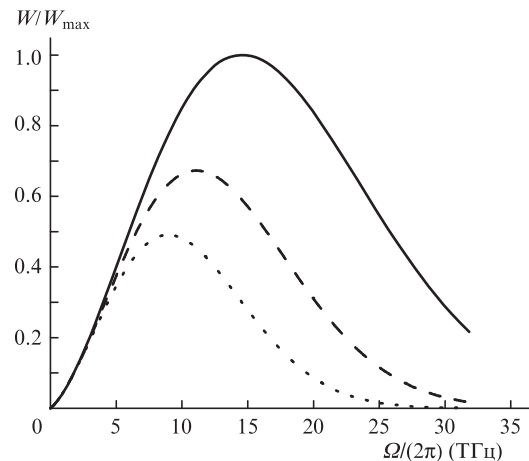


Рис.2. Спектральные плотности энергии низкочастотного излучения при облучении мишени из алюминия импульсом длительностью 15 (сплошная кривая), 20 (штриховая кривая) и 25 фс (пунктирная кривая).

Спектр терагерцевого излучения, подобный приведенному на рис.1, представлен в работе [2], где экспериментально изучена генерация низкочастотного излучения на поверхности мишени из золота при взаимодействии с излучением титан-сапфирового лазера, имеющего длину волны $\lambda = 810$ нм и длительностью импульса ~ 50 фс. Однако согласно рис.1 работы [2] максимум в спектре излучения имеет место при частоте ~ 0.5 ТГц, что на порядок меньше ожидаемого значения $\sim 1/(2\pi\tau_p) \sim 5$ ТГц. Такое отличие, вероятно, связано с ограниченными возможностями детектора на основе ZnTe при частотах, близких и несколько больших 2.5 ТГц [1].

Выражение (37) позволяет найти зависимость поля от времени в точке наблюдения генерируемого излучения:

$$B_r(\mathbf{r}, t) = \frac{1}{2\pi} \int_{-\infty}^{\infty} d\Omega \exp(-i\Omega t) B_r(\mathbf{r}, \Omega) \\ = \frac{1}{\pi} \int_0^{\infty} d\Omega \operatorname{Re}[\exp(-i\Omega t) B_r(\mathbf{r}, \Omega)]. \quad (50)$$

Поскольку поле в точке наблюдения отличается от поля на поверхности металла лишь задержкой по времени r/c , то при интегрировании выражения (37) по Ω можно принять $x = z = 0$. В вакууме $|E_r| = |B_r|$, поэтому после интегрирования по Ω в (50) найдем исследованную экспериментально [1] зависимость амплитуды поля от времени. Результаты численных расчетов по формулам (37) и (50) представлены на рис.3 для приведенных выше параметров мишени из золота и для параметров лазерного импульса, использованного в работе [1]: $\lambda = 810$ нм, $t_p \approx 50$ фс и $I_L t_p \approx 5.8$ мДж/см². Сплошная кривая на рис.3 получена путем интегрирования выражения (37) по всему диапазону частот. Форма этой кривой схожа с формой кривой, найденной в эксперименте [1] и представленной на рис.3 в работе [1]. Вместе с тем согласно этому рисунку поле генерируемого импульса существует в интервале времени ~ 2 пс, который почти на порядок больше рассчитанного теоретически (см. рис.3 настоящей работы). Такое различие в ширинах генерируемого импульса можно ликвидировать, если интегрировать по Ω в формуле (50) до частоты $\Omega \sim 2.5$ ТГц, которая огра-

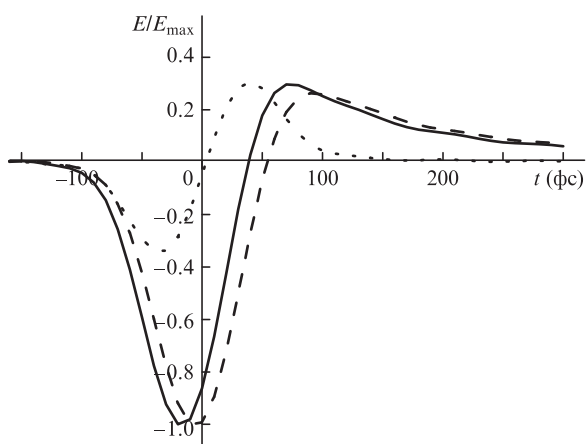


Рис.3. Поле импульса низкочастотного излучения, возникающего при облучении мишени из золота импульсом длительностью 50 фс (сплошная кривая), и поля, получаемые при учете нелинейного тока только вдоль поверхности (штриховая кривая) и только вдоль нормали к поверхности (пунктирная кривая). Поля нормированы на максимум модуля поля $E_{\max} = \max|E_r(t)|$.

ничивает область частот, хорошо регистрируемых детектором на основе ZnTe. При интегрировании в (50) до $\Omega < 2.5$ ТГц получается импульс, ширина которого сравнима с полученной в [1]. Поле, представленное сплошной кривой на рис.3, создается двумя источниками – током, текущим вдоль нормали к поверхности и током, текущим вдоль поверхности. Вклады в поле каждого из этих токов приведены на рис.3 штриховой и пунктирной кривыми. Видно, что в условиях эксперимента, обсуждаемого в [1], вклады токов, пропорциональных J_x и J_z , соизмеримы по величине. При этом использованная в [1] для интерпретации данных по воздействию s-поляризованного импульса на поверхность золота и обусловленная током, пропорциональным J_z , нелинейная поляризуемость (см. формулу (2) в [1]) приводит к симметричной во времени форме генерируемого низкочастотного импульса (пунктирная кривая на рис.3). Наблюдаемая экспериментально асимметричная форма импульса возникает благодаря учету нелинейного тока вдоль поверхности (сплошная и штриховая кривые на рис.3), который в рамках изложенной выше теории отличен от нуля только при учете столкновений электронов. Формула (2) в [1] не учитывает влияния J_x на генерируемое поле.

Рассмотрим энергию низкочастотного излучения. Из (45), (46) и (49) получаем, что при $v_s \tau_p \ll 1$ полная плотность энергии

$$W = \frac{8}{9} \sqrt{2\pi} \frac{I_L^2}{nmc^3} \frac{1 + v^2 \tau_p^2}{\omega_p^2 \tau_p} \sin^2 \theta \cos^2 \theta, \quad (51)$$

а при $v_s \tau_p \gg 1$ –

$$W = 4 \frac{I_L^2}{nmc^3} \frac{v^2}{\omega_p^2 v_s} \sin^2 \theta \cos^2 \theta. \quad (52)$$

Соотношения (51), (52) позволяют дать оценку полной энергии низкочастотного импульса. Например, для лазерного импульса с плотностью потока энергии $I_L \sim 10^{12}$ Вт/см² и длительностью ~ 50 фс, облучающего мишень из золота, из (52) имеем $W \approx 1.5 \times 10^{-14}$ Дж/см², что соответствует плотности потока излучения $W/t_p \sim 0.3$ Вт/см². Согласно соотношениям (51), (52) полная энергия низкочастотного излучения пропорциональна квадрату плотности потока излучения на основной частоте. Вместе с тем для оценок W выбрано сравнительно небольшое значение I_L . Дело в том, что изложенная выше теория учитывает влияние высокочастотного поля на движение электронов в рамках теории возмущений. Такой подход заведомо оправдан, если характерная скорость электронов в высокочастотном поле меньше их тепловой скорости, что приводит к ограничению I_L . В частности, в условиях высокочастотного скин-эффекта, для которых приведены оценки, ограничение плотности потока энергии имеет вид $I_L < 0.125 en k_B T$, где k_B – постоянная Больцмана [12]. Для мишени из золота, когда $n \approx 6 \times 10^{22}$ см⁻³, и при температуре электронов $T > 1000$ К, характерной для рассматриваемых потоков, получаем $I_L < 3 \times 10^{12}$ Вт/см².

6. Заключение

Выше изложена сравнительно простая теория генерации низкочастотного излучения, возникающего из-за медленного изменения во времени нелинейных токов, порождаемых в металле фемтосекундным лазерным импульсом

s-поляризованного излучения. Показано, что учет столкновений электронов позволяет описать вклад в излучение, обусловленный нелинейным током вдоль поверхности проводящей мишени. Этот вклад в значительной мере определяет форму генерируемого низкочастотного импульса. При больших частотах столкновений нелинейный ток вдоль поверхности обеспечивает более эффективную генерацию низкочастотного излучения, чем нелинейный ток вдоль нормали к поверхности, вследствие чего возникает значительное увеличение полной энергии низкочастотного импульса. Представленная теория позволяет качественно объяснить временные и частотные характеристики терагерцевого излучения, полученные экспериментально в работах [1, 2]. Вместе с тем очевидна необходимость дальнейшей разработки теории с учетом пространственной дисперсии металла для более адекватного описания генерации излучения на низких частотах. Однако это предмет отдельного исследования.

Работа выполнена при поддержке программы Президиума РАН №24, УНК ФИАН, а также гранта РФФИ №12-02-31683-мол-а.

1. Kadlec F., Kužel P., Coutaz J.-L. *Opt. Lett.*, **29**, 2674 (2004).
2. Kadlec F., Kužel P., Coutaz J.-L. *Opt. Lett.*, **30**, 1402 (2005).
3. Suvorov E.V., Akhmedzhanov R.A., Fadeev D.A., Пляков I.E., Mironov V.A., Shishkin B.V. *Opt. Lett.*, **37**, 2520 (2012).
4. Weiss C., Wallenstein R., Beigang R. *Appl. Phys. Lett.*, **77**, 4160 (2000).
5. Welsh G.H., Wynne K. *Opt. Express*, **17**, 2470 (2009).
6. Бежанов С.Г., Урюпин С.А. *Квантовая электроника*, **40**, 495 (2010).
7. Гуржи Р.Н. *ЖЭТФ*, **35**, 965 (1958).
8. Johnson P.B., Christy R.W. *Phys. Rev. B*, **6**, 4370 (1972).
9. *Таблицы физических величин. Справочник*. Под ред. И.К.Кикоина (М.: Атомиздат, 1976).
10. Smith D.Y., Segal B. *Phys. Rev. B*, **34**, 5191 (1986).
11. Rakić A.D. *Appl. Opt.*, **34**, 4755 (1995).
12. Исаков В.А., Канавин А.П., Урюпин С.А. *Квантовая электроника*, **36**, 928 (2006).